

次世代TFT研究における放射光利用

(株)液晶先端技術開発センター

東 和文

共同実験者および協力者（敬称略）

武藏工業大学工学部

服部健夫
野平博司
岡本英介

SPring-8

小林啓介
高田恭孝
池永英司

本研究は、経済産業省の資金を基に、(株)液晶先端技術開発センターが受託したNEDOの課題設定型産業技術開発費助成金「エネルギー使用合理化液晶デバイス・プロセス研究開発」に関するものである。

アウトライン



- 大粒径Siの低温形成とTFTへの応用
- ゲート絶縁膜形成とその界面構造評価
- Si/ゲート酸化膜界面構造評価(Sub-Oxide)
- 極薄酸化膜の均一性評価
- まとめ

ALTEDECの概要

名称 (株) 液晶先端技術開発センター

Advanced LCD Technologies Development Center Co., Ltd. (略称 ALTEDEC)

所在地 神奈川県横浜市戸塚区吉田町292番地

設立 2001年1月

資本金 11億9150万円 (2003年10月)

株主構成

シャープ（株） 東芝松下ディスプレイテクノロジー（株）

日本電気（株） （株）日立ディスプレイズ

（株）東芝 松下電器産業（株）

大日本印刷（株）、 （株）島津製作所 計8社

主な研究開発テーマ (2001年6月～2005年3月)

1. 高性能アクティブマトリックス液晶ディスプレイを実現する、省エネルギー生産プロセス基盤技術の研究開発
2. 先進的液晶ディスプレイを実現する、次世代技術の研究開発
3. 液晶ディスプレイ材料及び製造装置の研究開発

Platform Technologies for Active Matrix Displays

crystallization

High-quality Si crystallized films on glass substrate

gate dielectrics

low-temperature process, reduced leakage currents and interface levels

interconnects

low-resistivity metal interconnects

Energy-saving TFT Platform Technologies

Energy-saving Target

50% reduction in energy used to produce poly-Si TFT LCDs

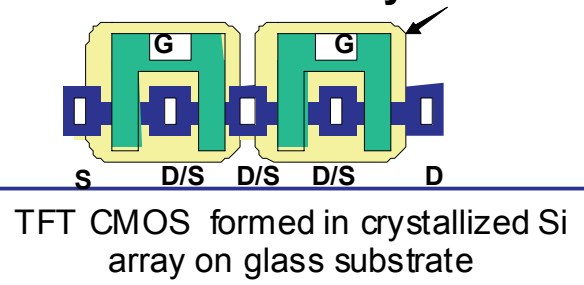
Advanced TFT Target

High-performance TFTs operable at 100 MHz

lithography and microfabrication

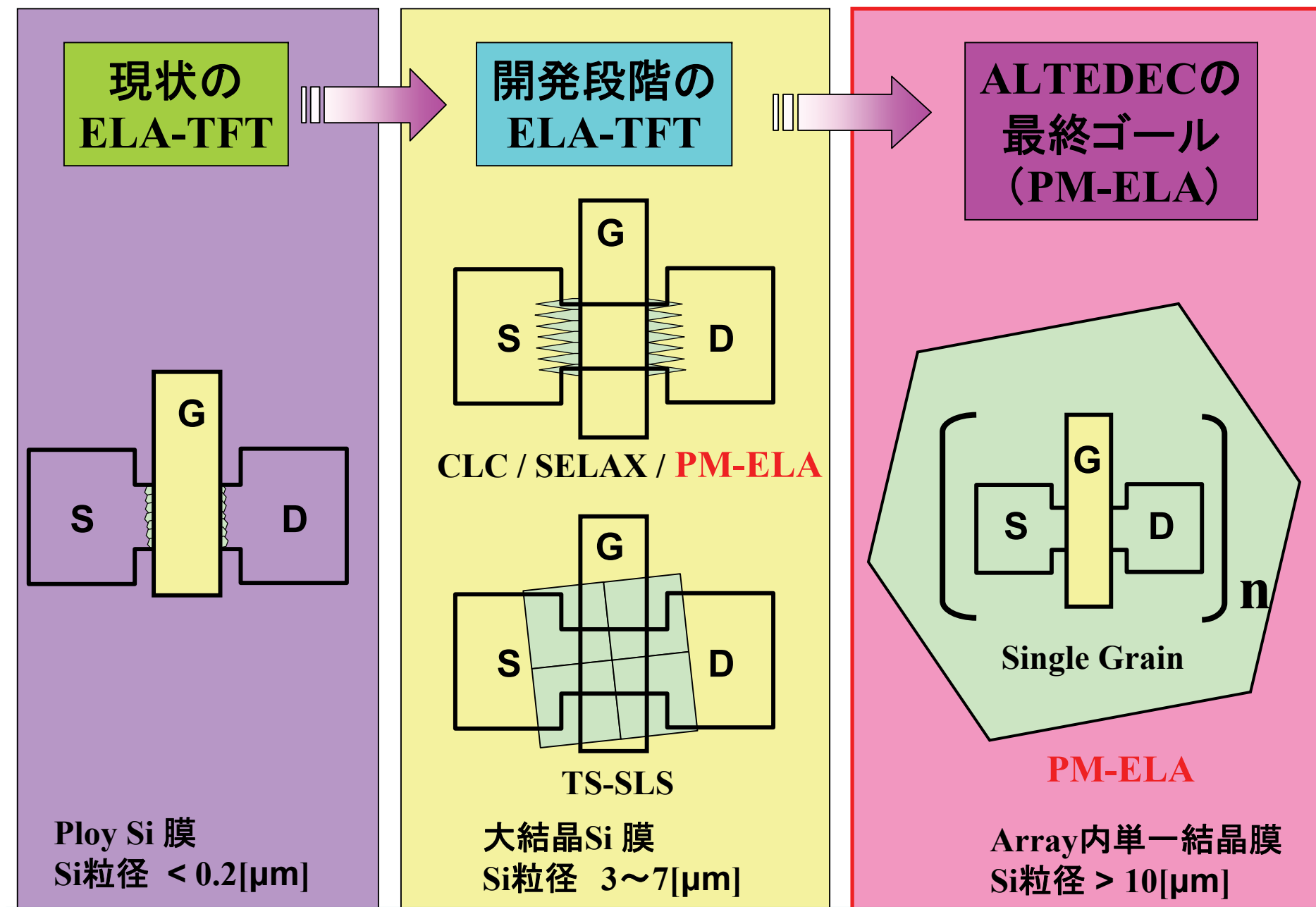
High-throughput lithography $\leq 1\mu\text{m}$

crystallized Si

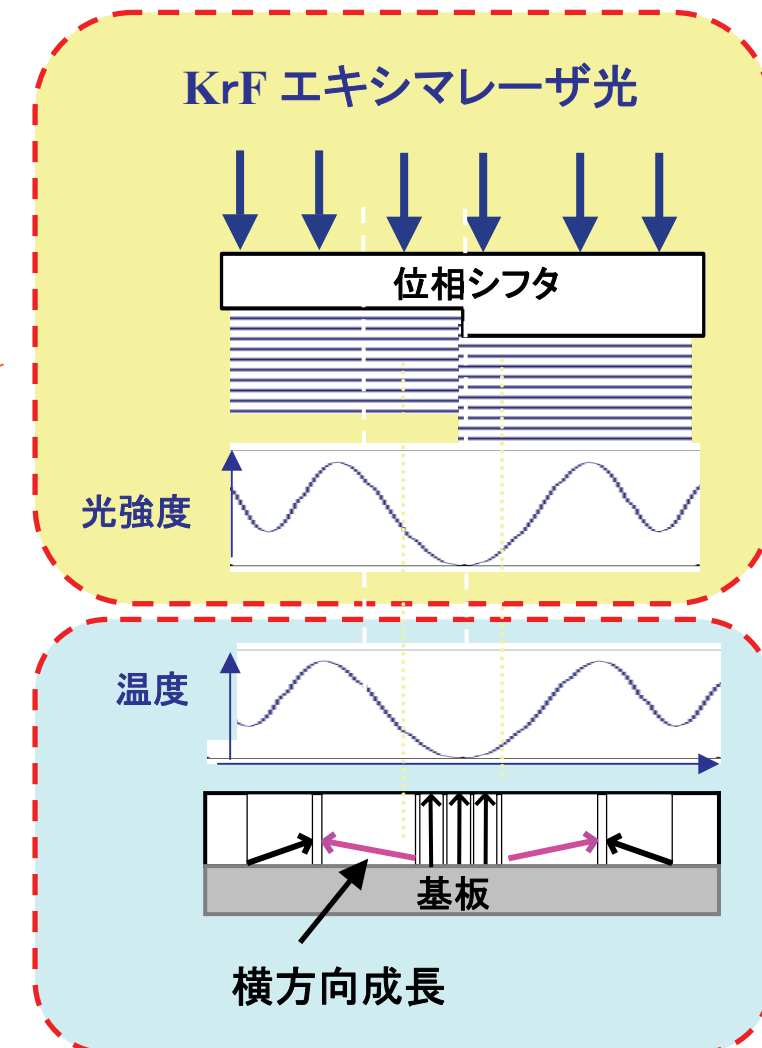
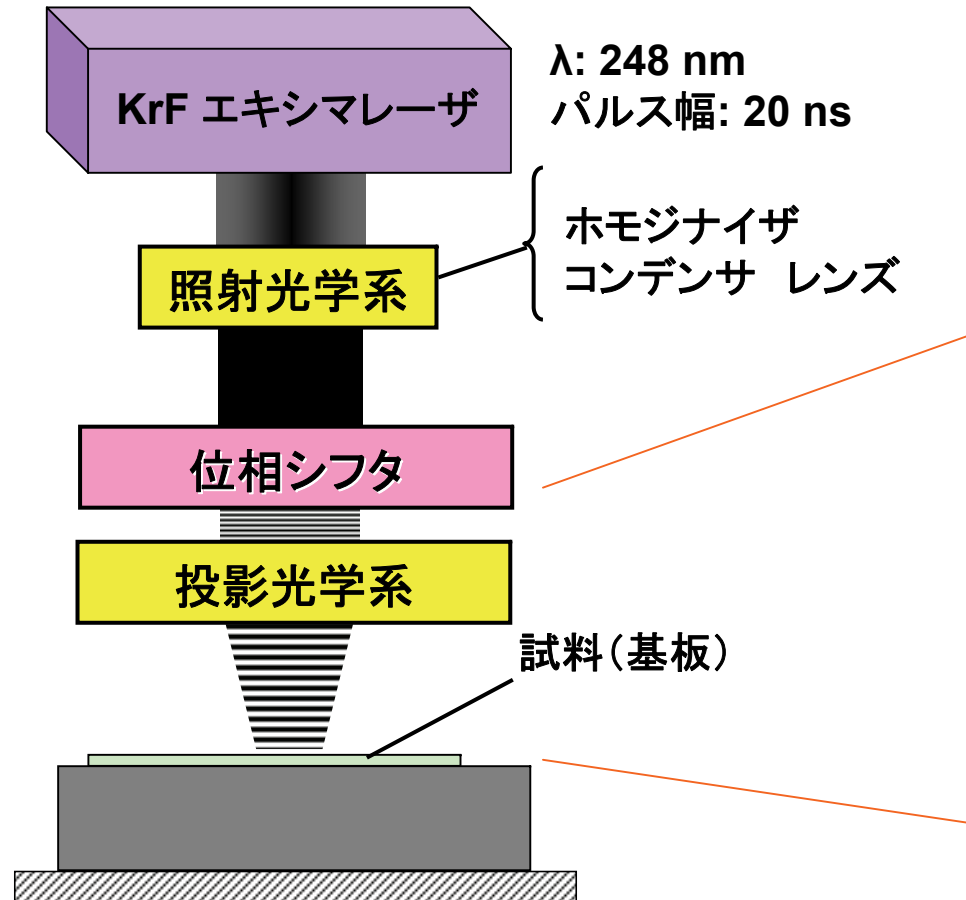


characterization

crystallographic and electrical analysis device model and simulation



位相変調エキシマレーザアニール法



[1] M.Jyumonji et al., SID2004, pp.434-437

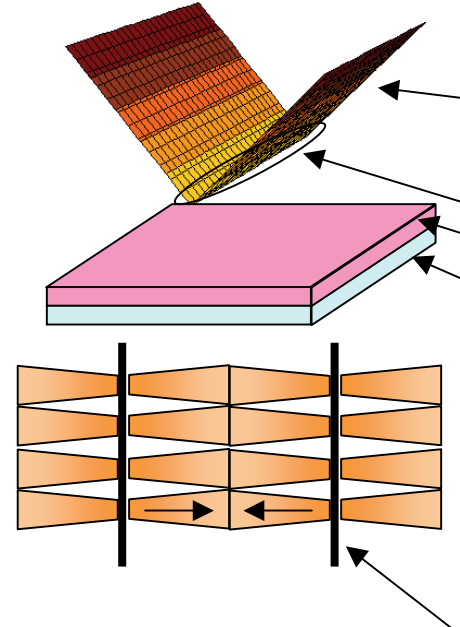
[2] H.Ogawa et al., IDW2003, pp.323-326

位相変調エキシマレーザアニール法 (PMELA)

位相シフタによる空間的な光強度分布
 液体シリコンの2次元方向の温度勾配
 勾配に沿った横方向成長

◆大粒径を
 ◆それぞれの位置を制御して
 得ることができる。

第2世代 (1次元)



强度分布

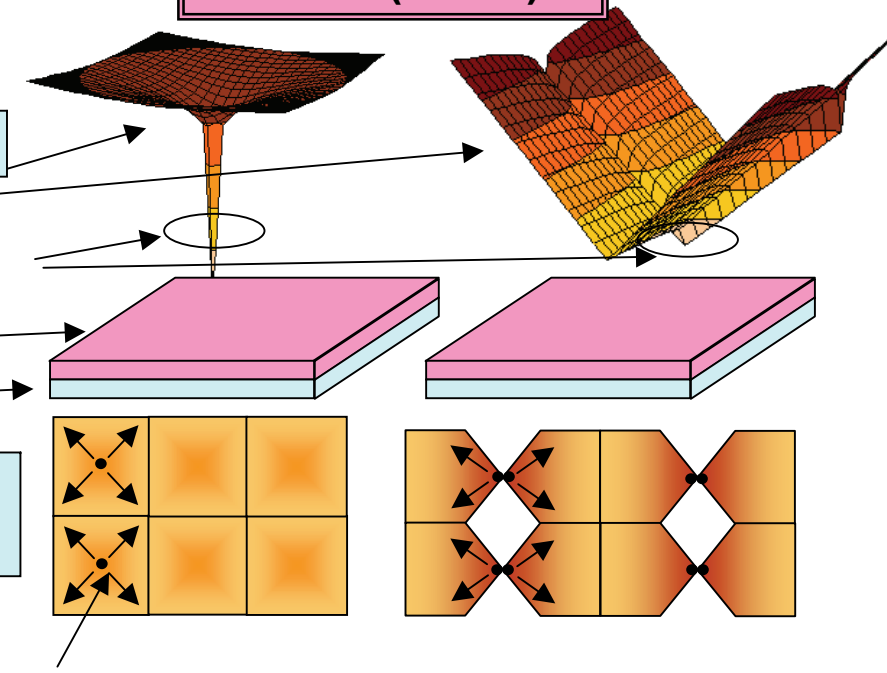
位置制御のしきけ

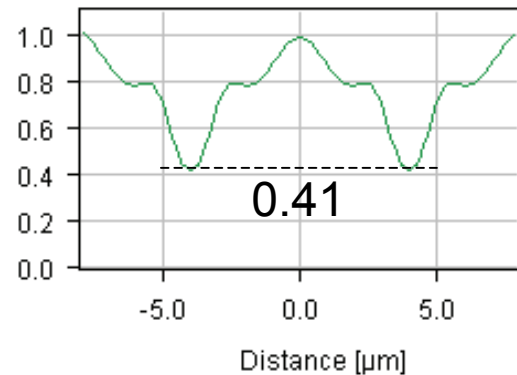
Si
Substrate

結晶形態
周期的な強度分布

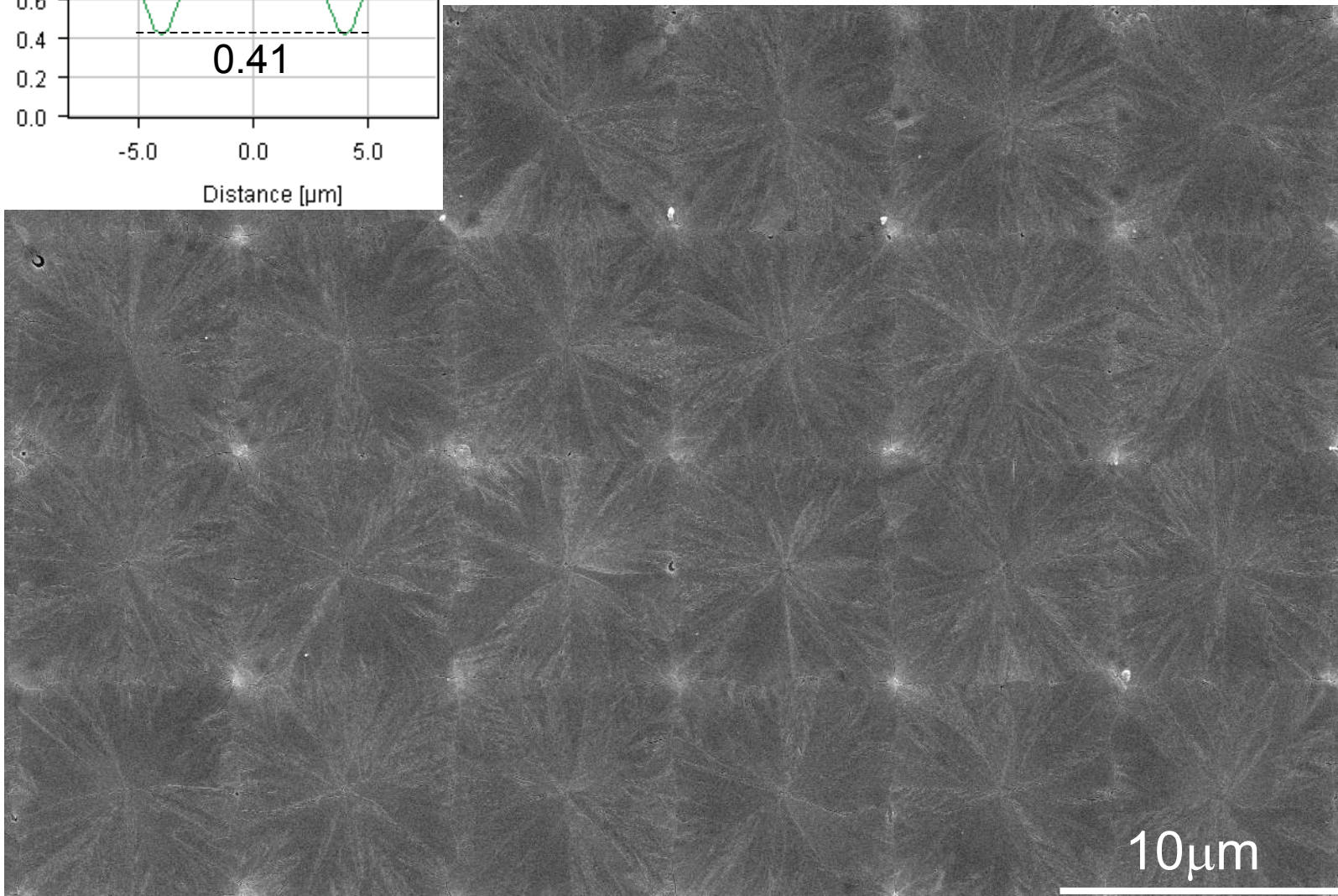
制御された位置

第3世代 (2次元)



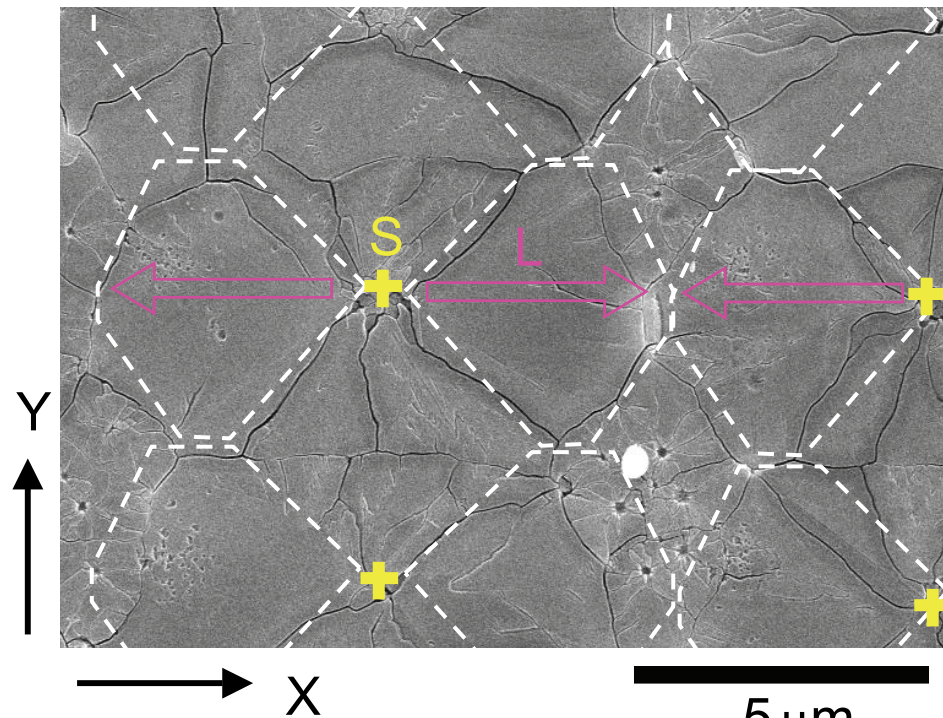
norm. Intensity 0.57 J/cm²

Close to 100% packing efficiency

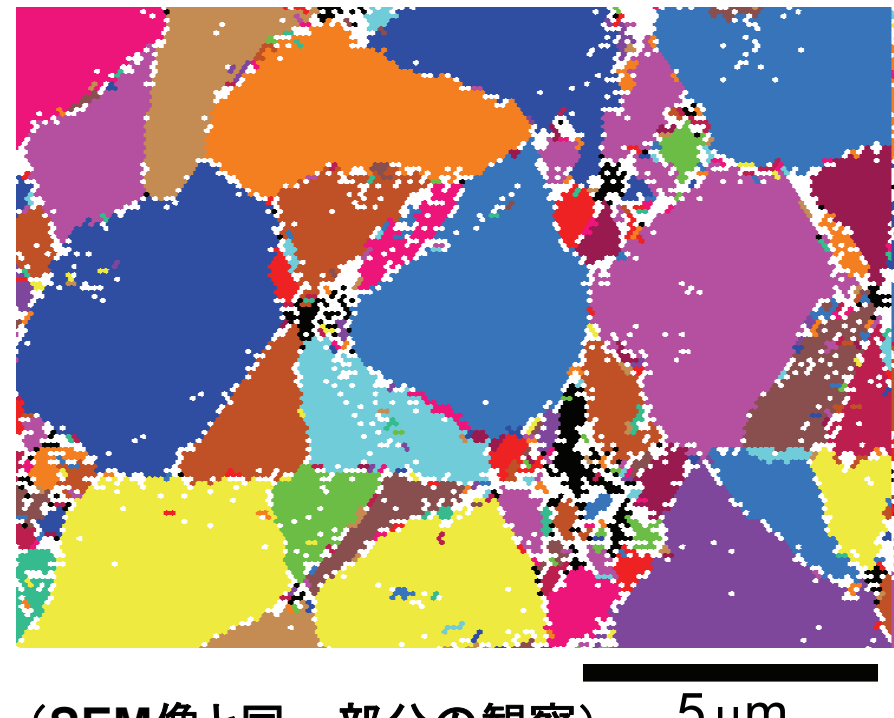
10 μm

位置制御されたSiの配列 - ホームベース型結晶粒 -

SEM像 (セコエッティング後)



EBSP*による結晶粒配置図



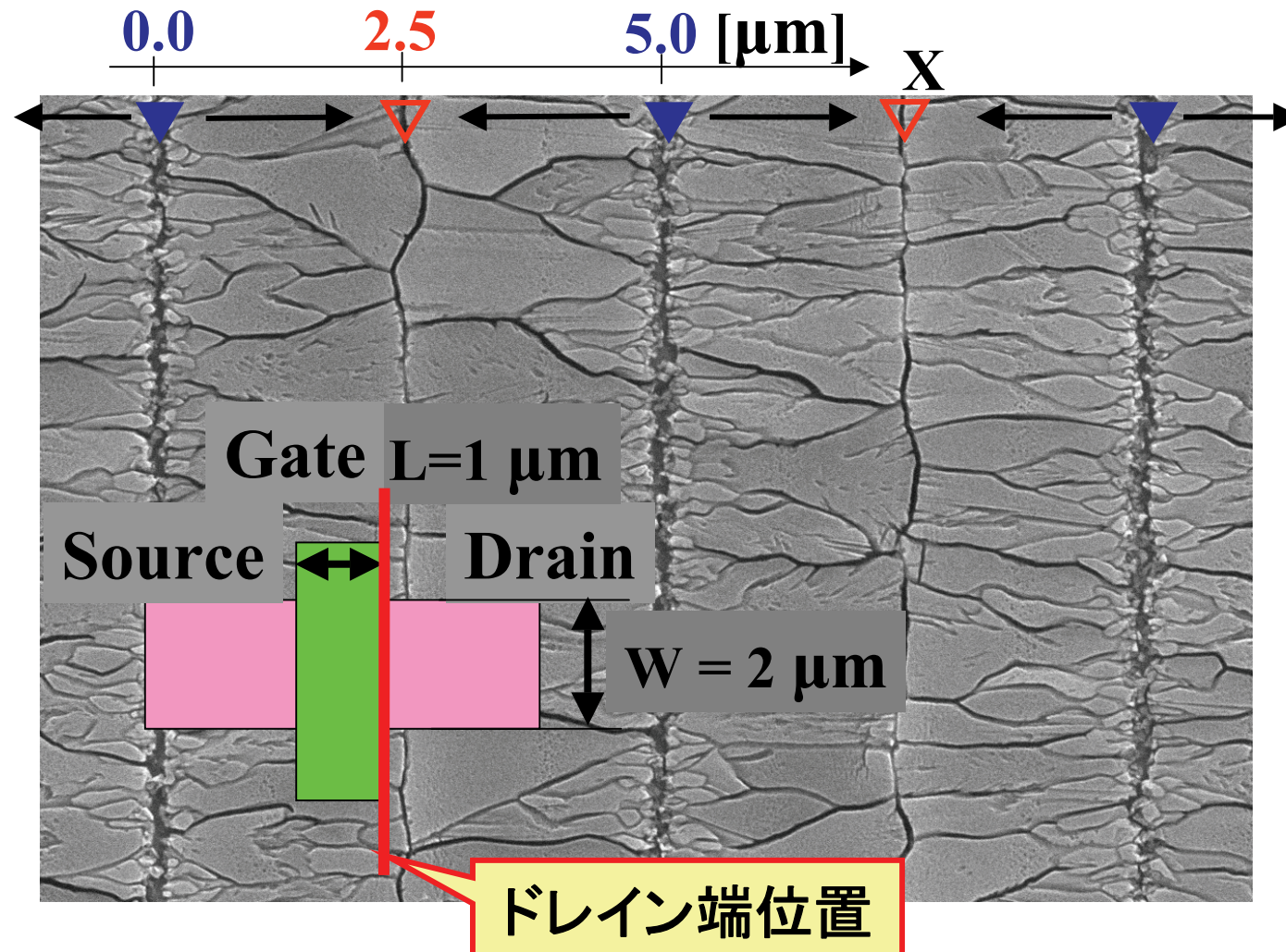
(SEM像と同一部分の観察)

*Electron Back Scattering Pattern

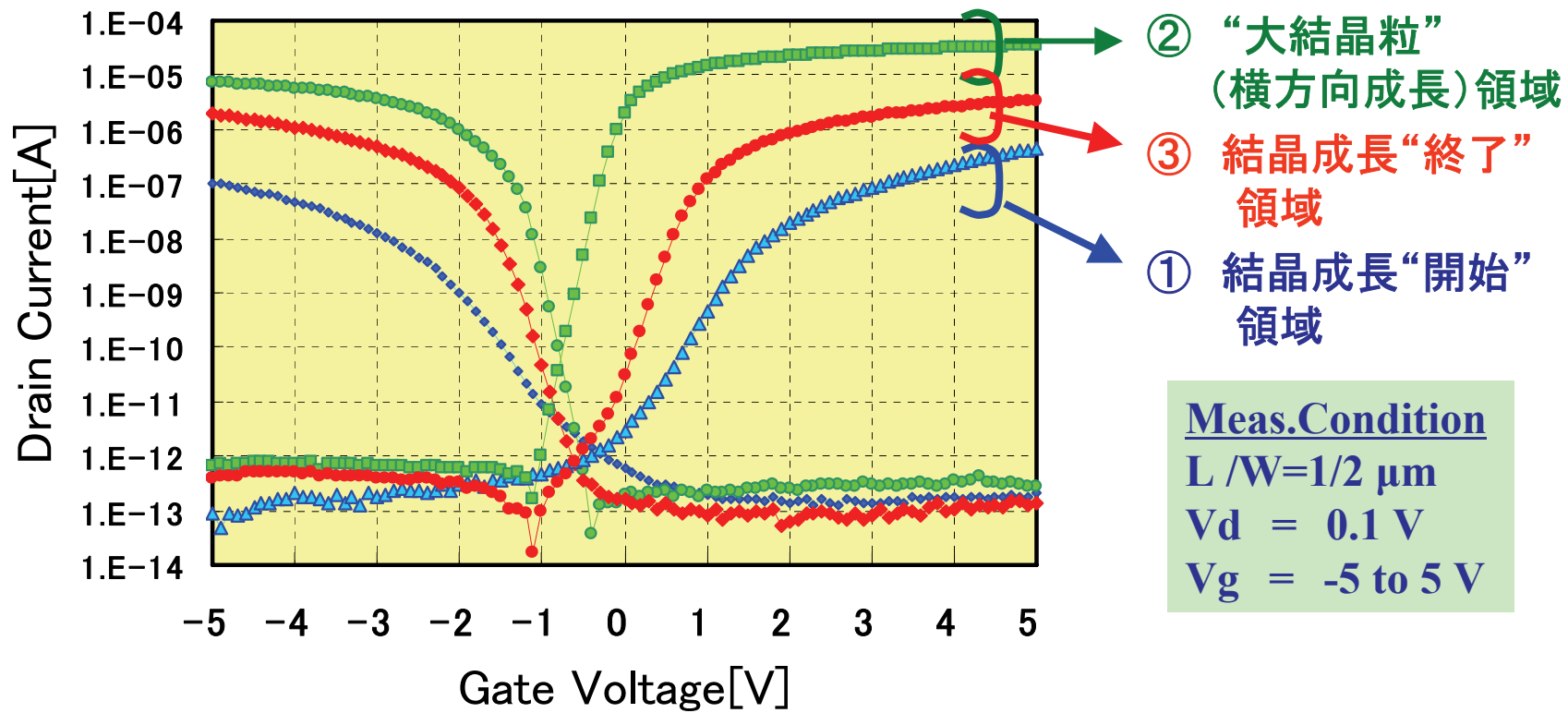
Si結晶位置とTFT特性の相関 評価方法

結晶成長開始点

結晶成長終了点



V_{gs} - I_{ds} 特性とチャネル形成位置(ドレイン端)の相関

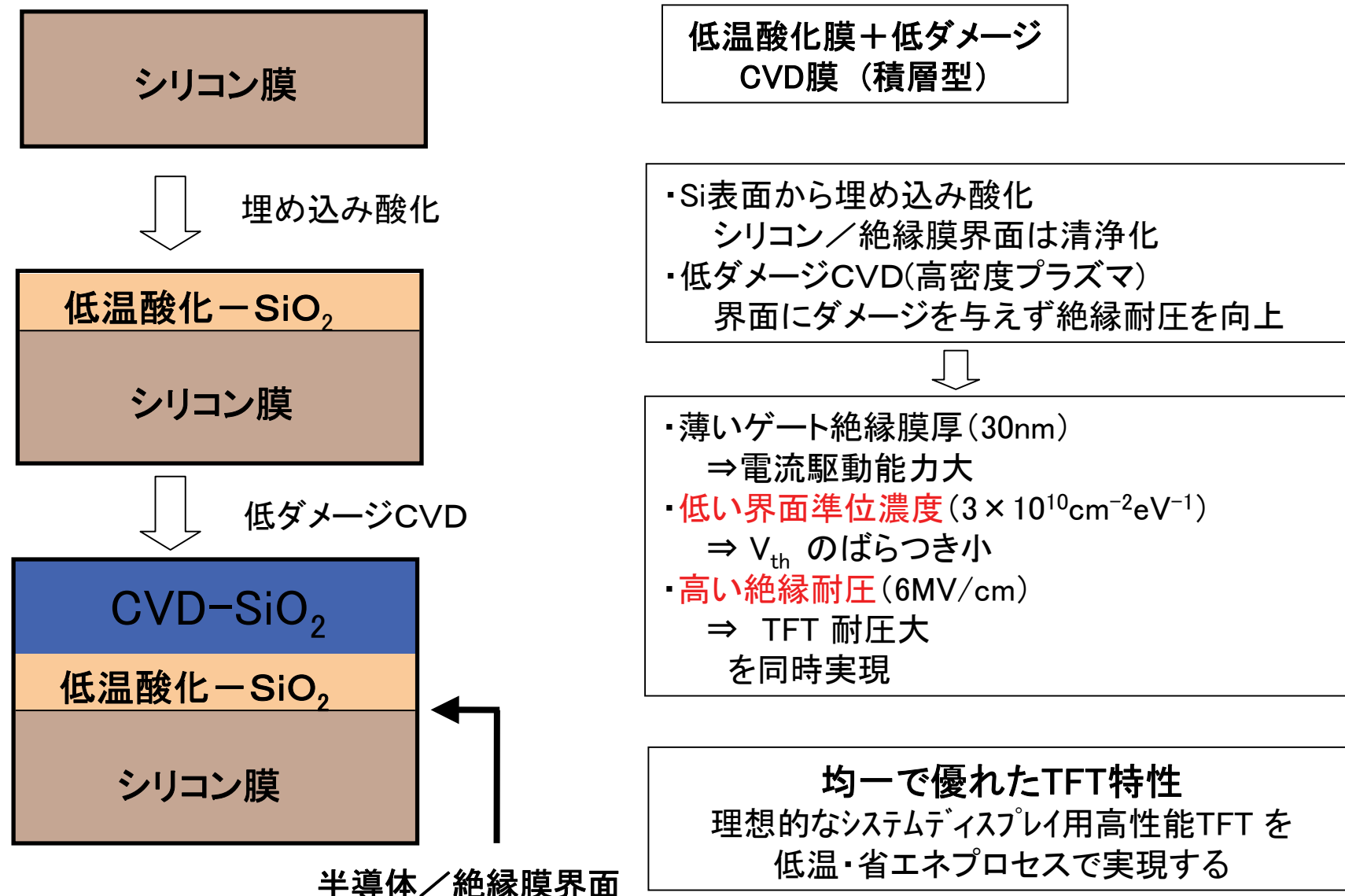


ドレイン端位置	N型TFT			P型TFT		
	V_t [V]	μFE [cm 2 /V·s]	S [V/dec]	V_t [V]	μFE [cm 2 /V·s]	S [V/dec]
①成長開始領域	3.71	13.1	1.05	-3.31	3.16	1.50
②大結晶粒領域	-0.27	712.4	0.15	-1.47	138.8	0.11
③成長終了領域	1.13	46.0	0.33	-2.69	44.7	0.42

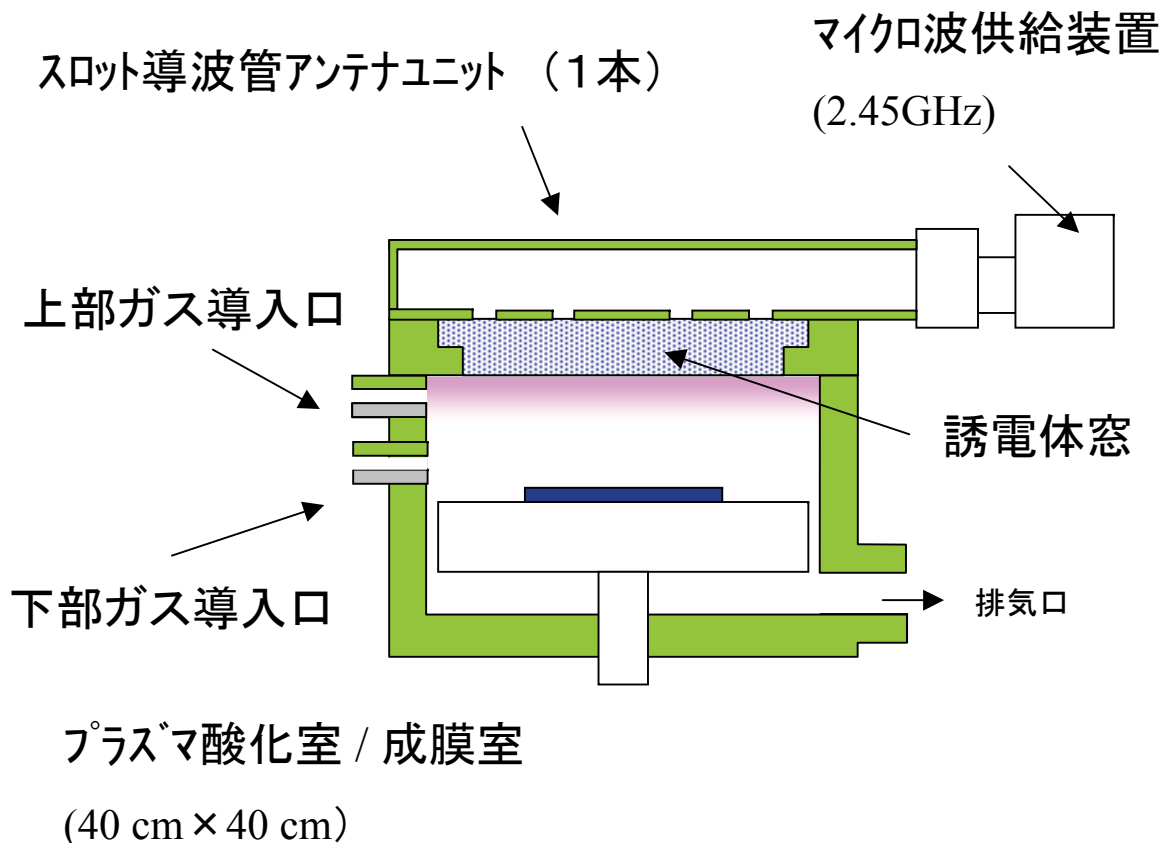
アウトライン

- 大粒径Siの低温形成とTFTへの応用
- ➡ ■ ゲート絶縁膜形成とその界面構造評価
 - Si/ゲート酸化膜界面構造評価(Sub-Oxide)
 - 極薄酸化膜の均一性評価
- まとめ

積層ゲート絶縁膜低温形成技術



スロット導波管(SWP)方式マイクロ波装置(酸化/成膜)



Experimental Conditions

- Frequency : 2.45 GHz
- Gas : O₂, Kr, Ar, TEOS
- Pressure: 40–80 Pa
- Power : 600–2400 W
- T_s : 100–350°C

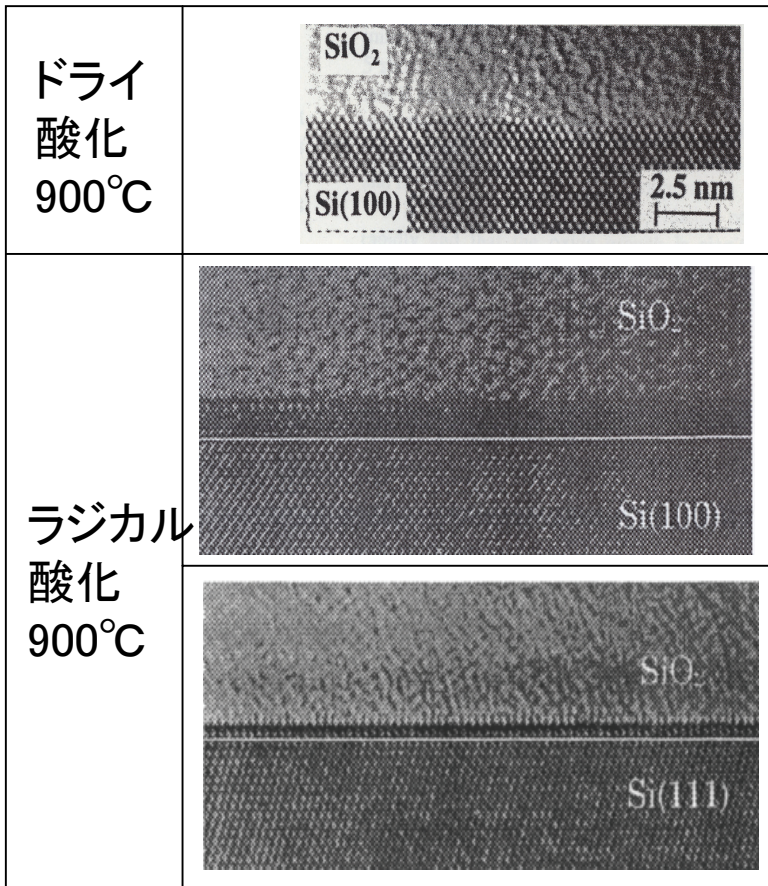
Plasma Diagnostics

- Actinometry
- Appearance Mass Spectrometry
- Langmuir probe

ラジカル酸化の特長

熱酸化:
O₂分子が拡散
(Chemically inert)

ラジカル酸化:
O原子が拡散
(Highly active)



活性な原子状酸素により、
■ SiO₂ネットワークの欠陥
を修復

Si-Si結合
Siダングリングボンド
歪んだSi-O結合

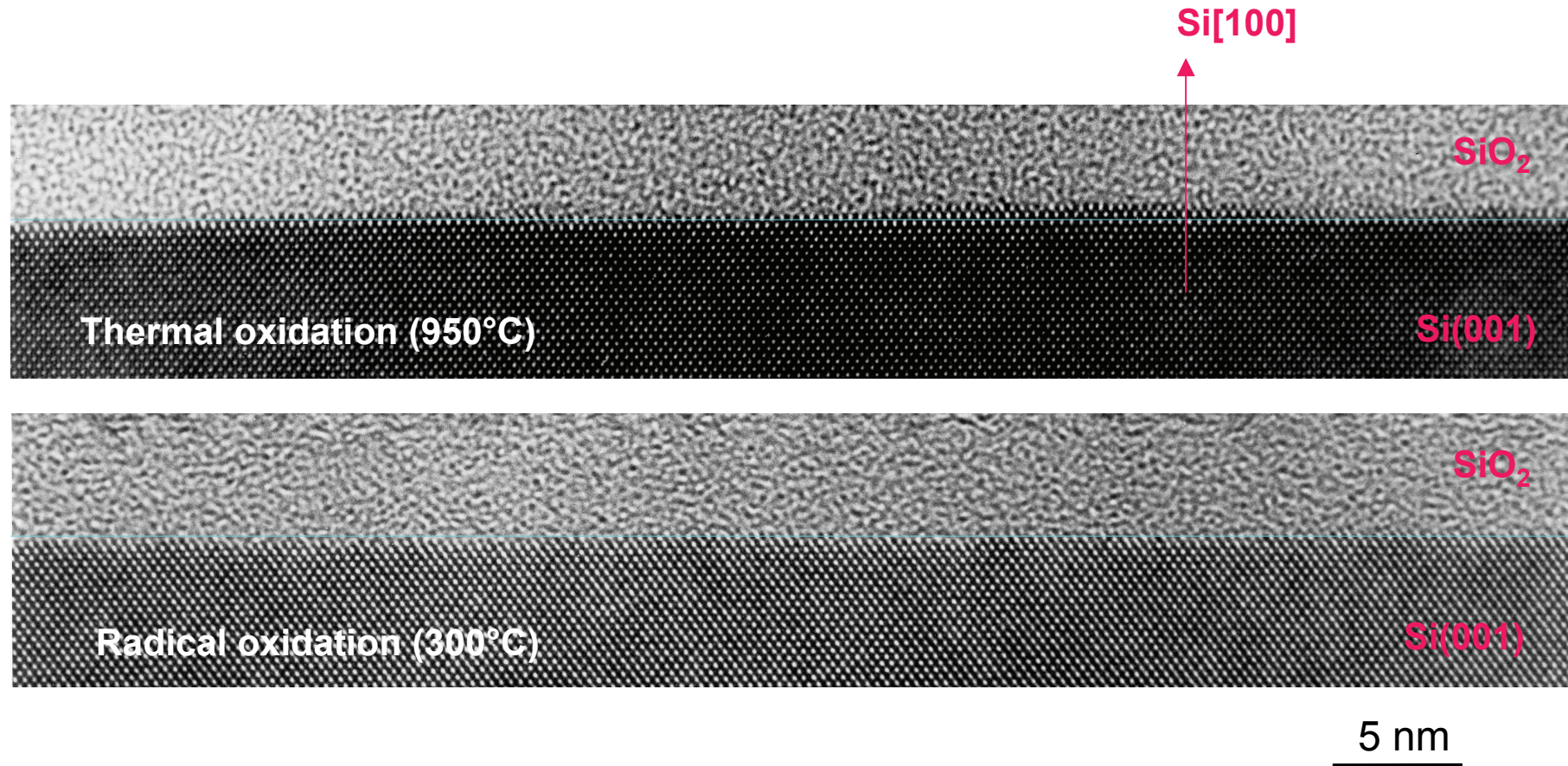
■ 界面のSiクラスターを
酸化し、平坦化
原子レベルで平坦な界面形成

SiO₂/Si界面
特性を
飛躍的に改善

ラジカル酸化
を低温酸化技術に適用

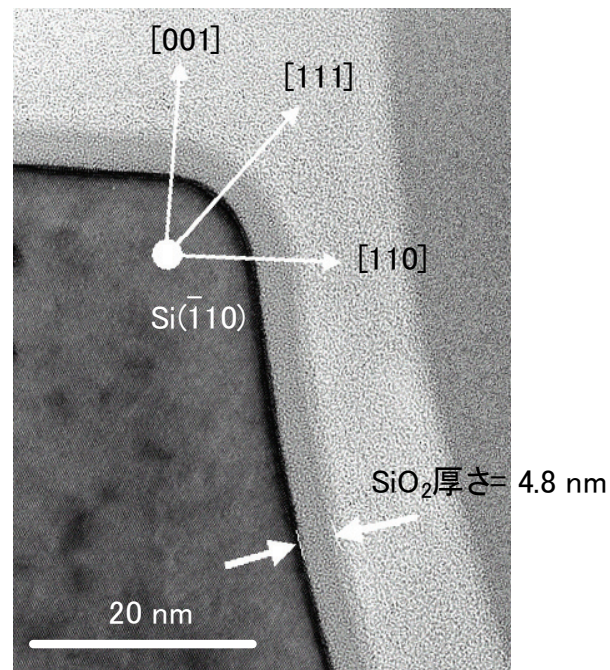
- プラズマ
- 光
- オゾン
- etc.

HR-TEMによるSi/SiO₂界面観察



表面波プラズマ酸化膜厚のSi面方位依存性

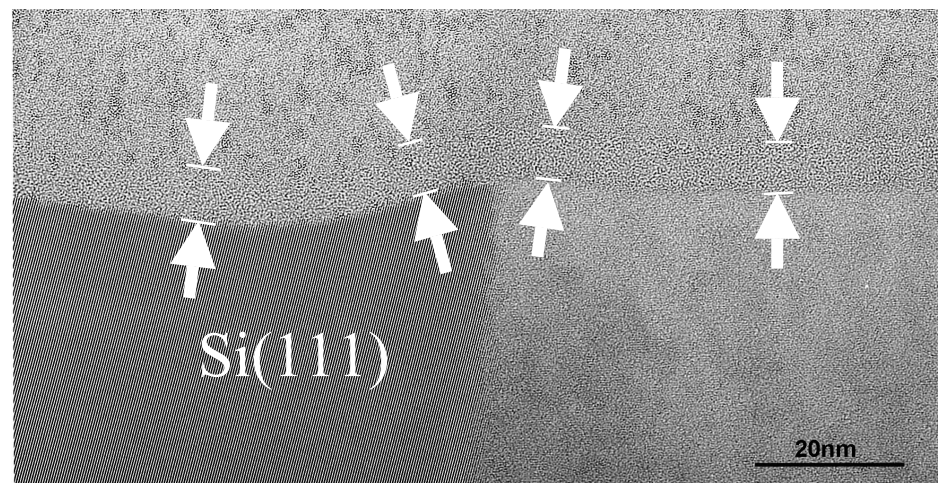
SiO_2 厚さ=4.8 nm



SWP方式表面波プラズマ酸化

*($\text{Kr} + 3\% \text{O}_2$): [左右の図では形成時間が異なる]

SiO_2 厚さ=8.0nm



単結晶(001)の(110)断面

- 酸素ラジカル酸化により、Si面方位に拘らず同一の酸化膜厚が得られる。

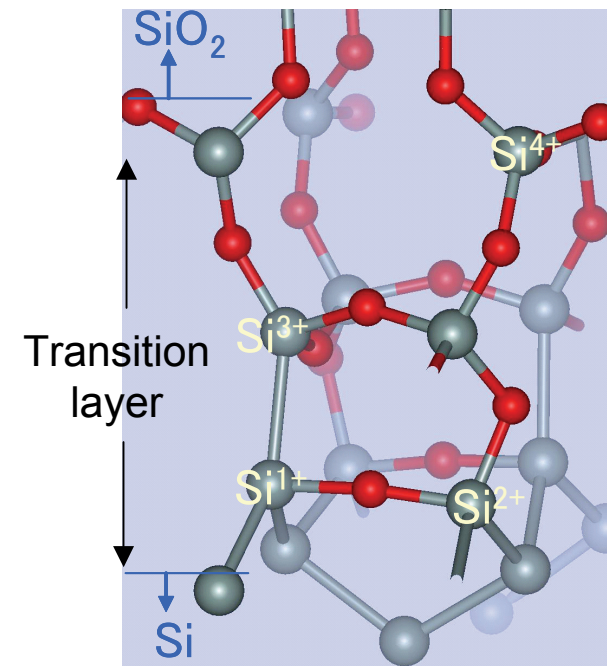
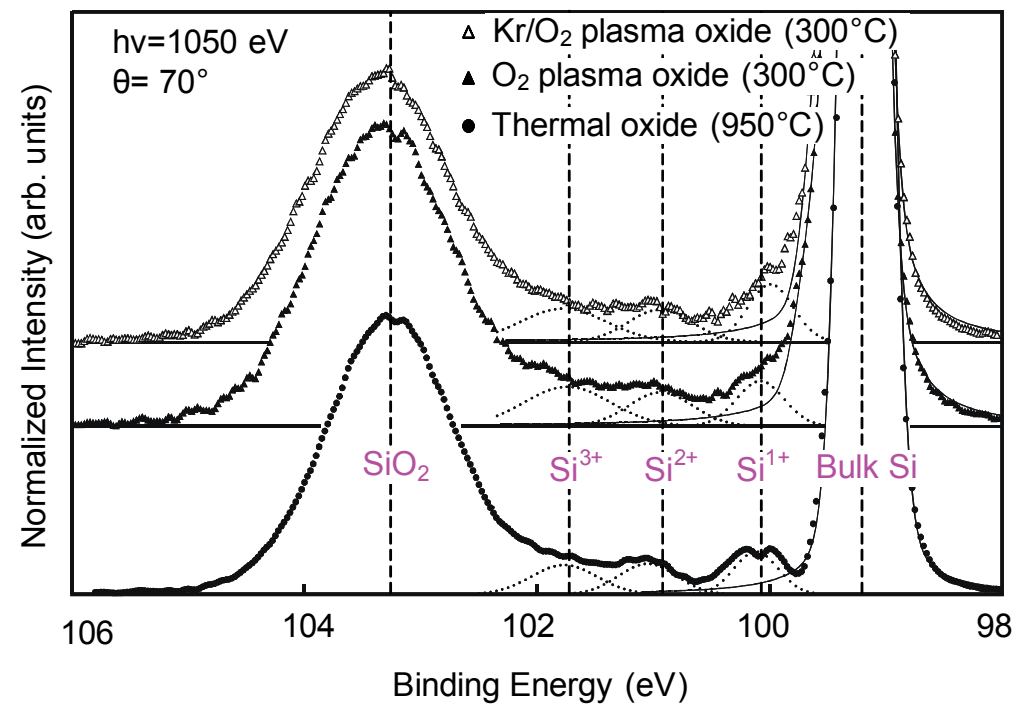
ELA結晶の粒界部断面

アウトライン

- 大粒径Siの低温形成とTFTへの応用
- ゲート絶縁膜形成とその界面構造評価
- Si/ゲート酸化膜界面構造評価(Sub-Oxide)
極薄酸化膜の均一性評価
- まとめ

Si 2p photoelectron spectra measured by SPring-8 beam line

Si(100)
Si 2p_{3/2}



after D. A. Muller et al.,
 Phys. Rev. Lett. V85
 p 1298 (2000).

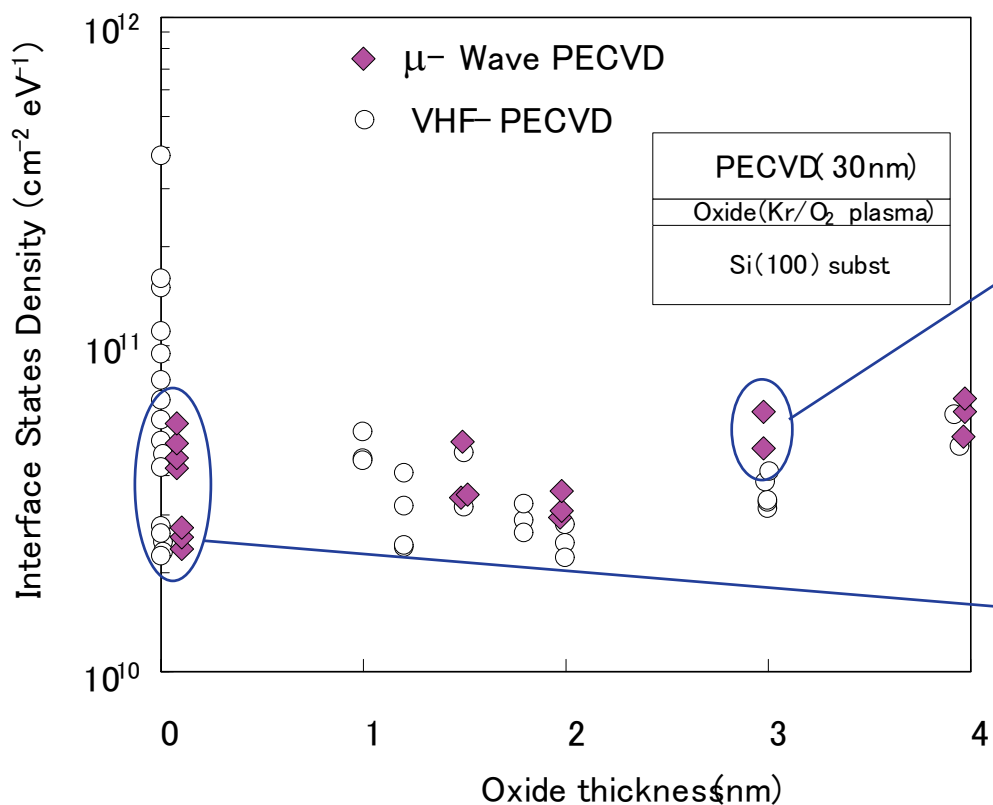
	Amount of suboxide (ML)			
	Si ¹⁺	Si ²⁺	Si ³⁺	total
Kr/O ₂ Plasma oxide	0.33	0.26	0.36	0.95
O ₂ Plasma oxide	0.27	0.27	0.42	0.96
Thermal oxide	0.26	0.26	0.27	0.79

酸化膜厚と界面準位密度

光電子分光法による μ 波PECVD膜界面構造評価

μ 波PECVD単層膜での界面準位密度が低い。
成膜初期に自発的酸化反応？

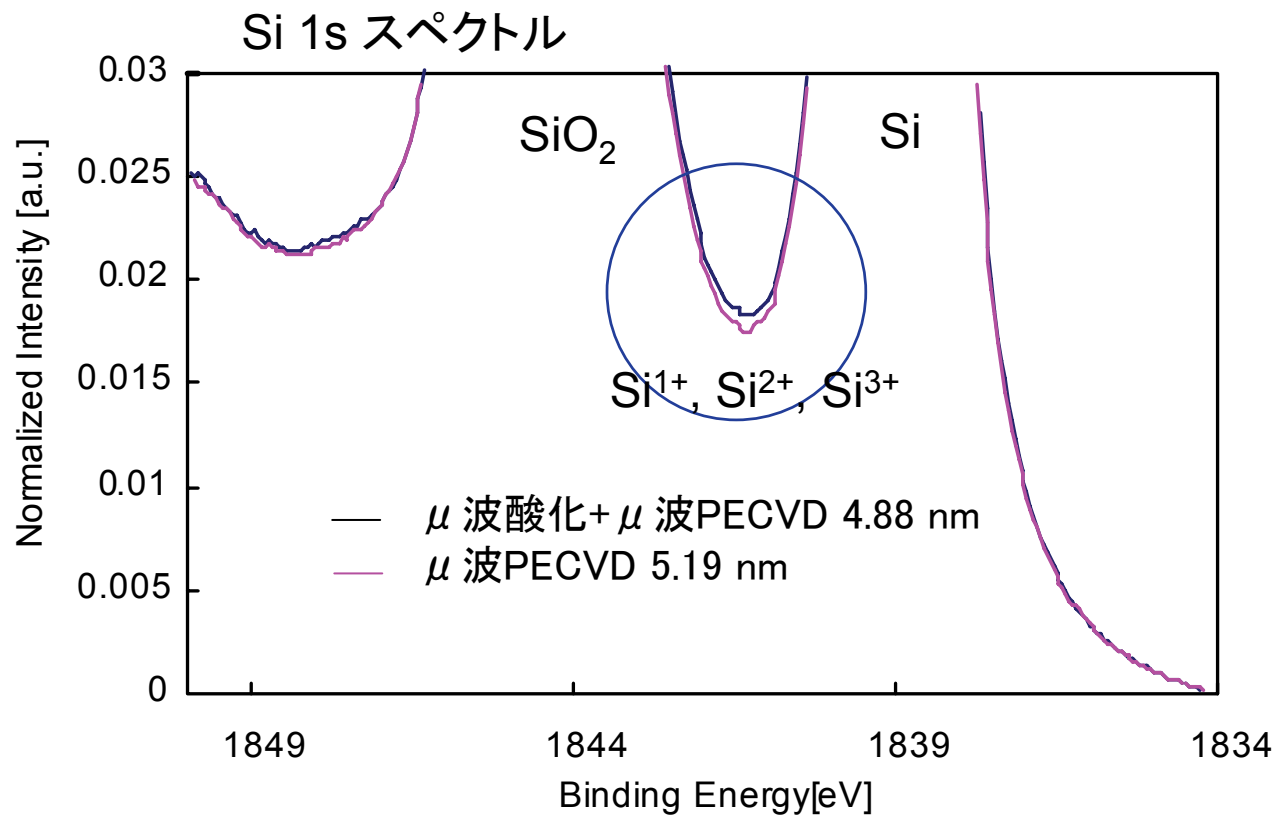
押込み酸化膜の場合と界面構造を比較。



【評価用試料】

μ波酸化	μ波PECVD	膜厚
Kr 97% / O ₂ 3%	TEOS 3% / O ₂ 97%	4.88 nm
2.0kW, 133Pa	2.4 kW, 80 Pa	
2 nm	3 nm	
—	TEOS 3% / O ₂ 97%	5.19 nm
—	2.4 kW, 80 Pa	
—	5 nm	4.92 nm
—	—	4.97 nm

サブオキサイド領域の拡大図

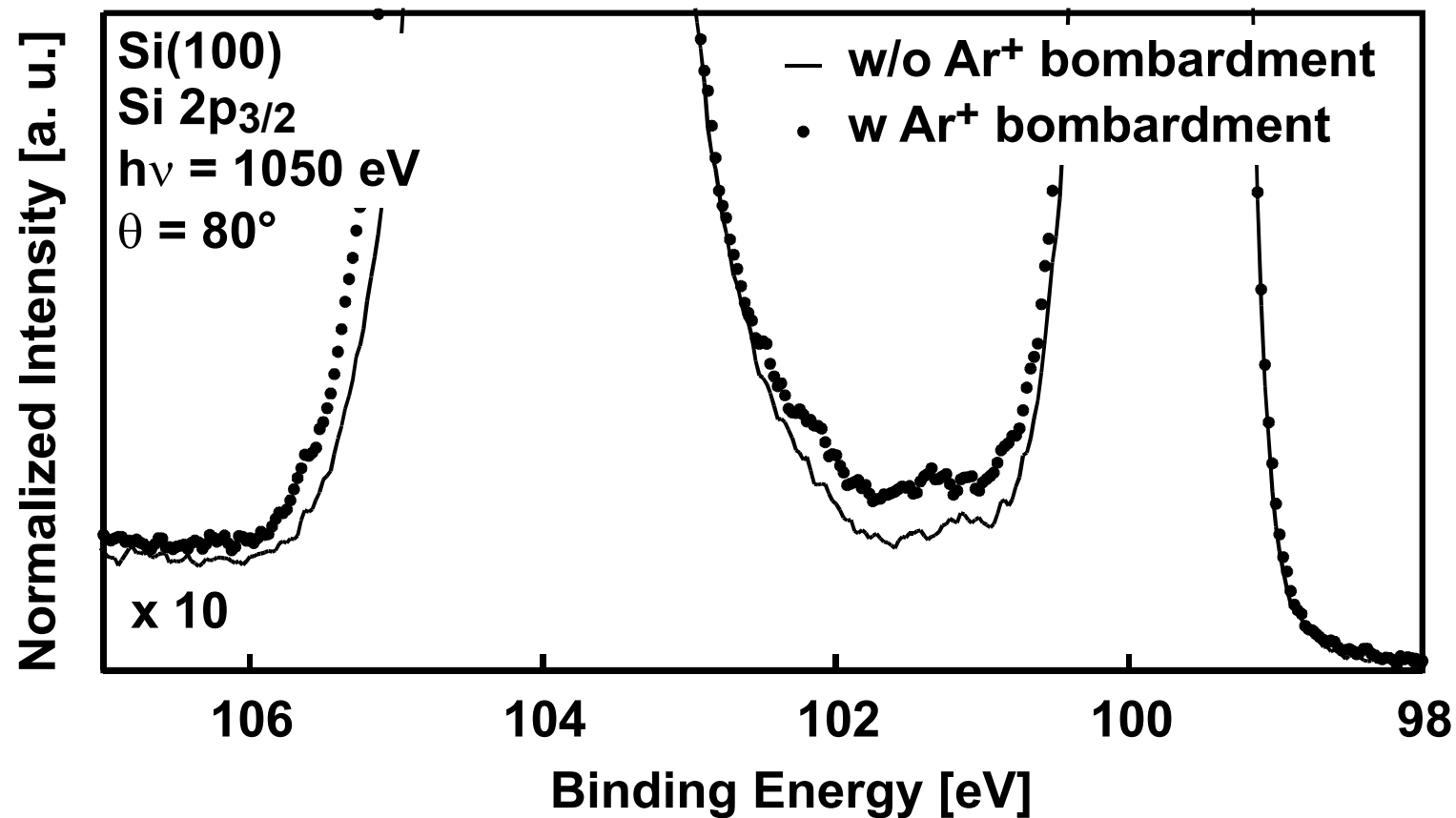


$$NS = 15.68 \text{ [eV} \cdot \text{counts]}$$

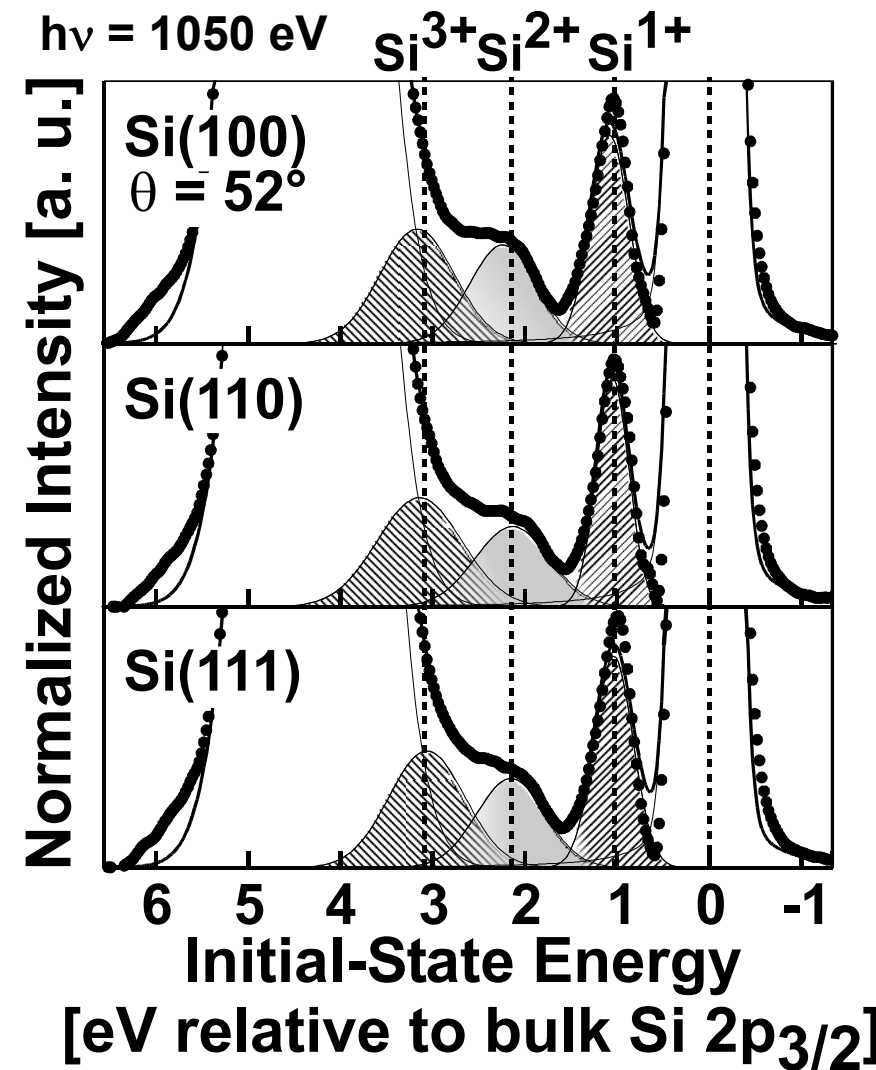
$$\Delta NI = 0.0312 \text{ [eV} \cdot \text{counts]}$$

$$\frac{\Delta NI}{NS} = \frac{6.8 \times 10^{18} \cdot x}{5.0 \times 10^{28} \cdot 4.9 \times 10^{-9} \cdot \sin 80^\circ} = 0.028x$$
$$x = 0.07 \text{ [ML]}$$

Arプラズマ照射によるSub-oxide領域の変化



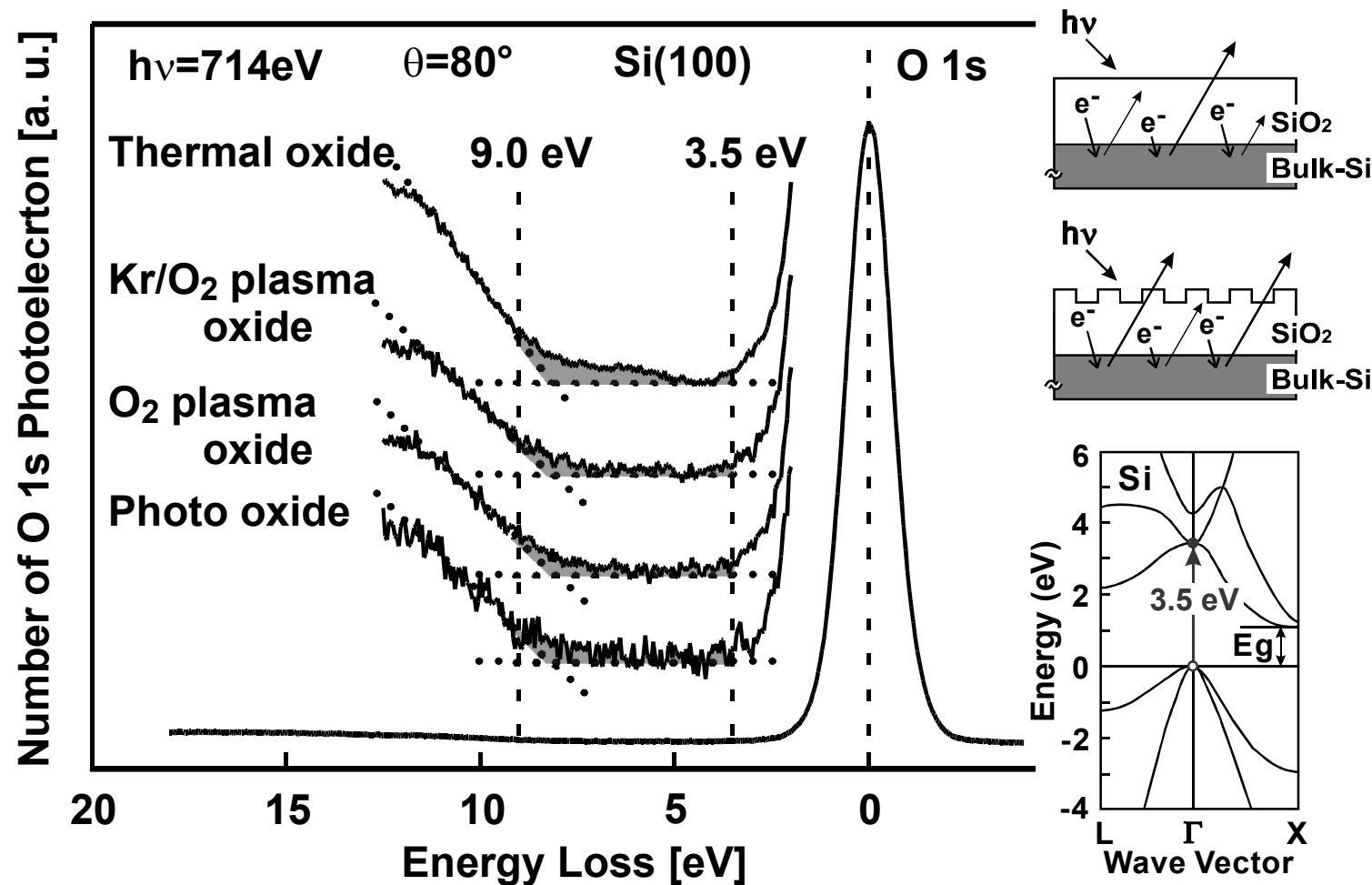
Kr/O₂ プラズマ酸化膜/Si界面構造の面方位依存性



アウトライン

- 大粒径Siの低温形成とTFTへの応用
- ゲート絶縁膜形成とその界面構造評価
 - Si/ゲート酸化膜界面構造評価(Sub-Oxide)
- ➡ 極薄酸化膜の均一性評価
- まとめ

種々の酸化膜のO1s光電子損失スペクトル



まとめ

- ☆ ラジカル酸化によるSi/SiO₂界面は熱酸化の場合よりも原子レベルで平坦であるが、その界面付近の構造遷移層の評価には高輝度光を用いたXPSの手法が有効である。
- ☆ 高輝度光を用いたXPSではSi 2pスペクトルからサブオキサイドの評価が容易である。これにより
 - ・酸化法による界面急峻性の違いの有無が明確になる。
 - ・プラズマ損傷の程度を定性的に評価できる。
- ☆ 高輝度光を用いたO1s 光電子損失スペクトルから酸化膜の均一性を評価できる。